



NetWorks Sp. z o.o.  
Laboratorium Badań Środowiskowych  
ul. Józefa Piłsudskiego 3  
00-728 Warszawa  
e-mail: [Laboratorium@networks.pl](mailto:Laboratorium@networks.pl)



AB 419

**S P R A W O Z D A N I E 6606/2025/OS**  
**Z POMIARÓW PÓL ELEKTROMAGNETYCZNYCH**  
**WYKONANYCH DLA POTRZEB OCHRONY ŚRODOWISKA**

Badany obiekt: Instalacja radiokomunikacyjna Orange Polska S.A.  
Numer i nazwa: 4528 (44031N!) JAROCKA (GOL\_OLSZTYN\_JAROCKA)  
Adres: OLSZTYN, BAJKOWA 111, Powiat m. Olsztyn, WOJ. WARMIŃSKO-MAZURSKIE

Data wykonania pomiarów: 2025-10-09

Sprawozdanie z badań bez pisemnej zgody laboratorium nie może być powielane inaczej niż w całości.  
Wynik przedstawione w niniejszym sprawozdaniu odnoszą się wyłącznie do badanego obiektu i do warunków i konfiguracji urządzeń w dniu wykonywania pomiarów.

**1. Właściciel badanego obiektu:**

Orange Polska S.A., Al. Jerozolimskie 160, 02-326 Warszawa

**2. Zleceniodawca:**

Orange Polska S.A., Al. Jerozolimskie 160, 02-326 Warszawa

**3. Przedstawiciel zleceniodawcy:**

NetWorks Sp. z o.o.

**4. Zakres zlecenia:**

Wykonanie badania i opracowanie sprawozdania z pomiarów natężenia pola elektrycznego i pola magnetycznego dla instalacji radiokomunikacyjnej Orange Polska S.A. zlokalizowanej w miejscowości OLSZTYN, BAJKOWA 111.

**5. Cel zlecenia:**

Wykonanie pomiarów pól elektromagnetycznych w otoczeniu instalacji radiokomunikacyjnej 4528 (44031N!) JAROCKA (GOL\_OLSZTYN\_JAROCKA) w odniesieniu do wymagań określonych w *Rozporządzeniu Ministra Klimatu z dnia 17 lutego 2020 r. w sprawie sposobów sprawdzania dotrzymania dopuszczalnych poziomów pól elektromagnetycznych w środowisku (Dz.U. 2022 poz. 2630)*.

**6. Pomiary zostały wykonane przez:**

Helwak Jakub  
Żebrowski Mateusz

**7. Informacje o źródłach pól elektromagnetycznych**

**7.1. Sposób identyfikacji badanych źródeł pól elektromagnetycznych**

Identyfikacji źródeł i parametrów technicznych dokonano na podstawie analizy dokumentacji dotyczącej zlecenia oraz obserwacji miejsca wykonywania badań.

**7.2. Opis miejsca zainstalowania anten i urządzeń technicznych. Opis obiektu badań i jego otoczenia**

Instalacja radiokomunikacyjna zlokalizowana jest na terenie ogrodzonym. Anteny zawieszono na wieży kratowej. Urządzenia sterujące oraz zasilające zainstalowano w kontenerze u podstawy wieży. Wokół instalacji znajdują się tereny przemysłowe.

Instalacja radiokomunikacyjna jest obiektem bezobsługowym. Okresowe stanowiska pracy związane są z prowadzonymi w zależności od potrzeb konserwacjami, przeglądami, strojeniem i naprawami.

### 7.3. Parametry techniczne źródła pola elektromagnetycznego

Dane przedstawiające maksymalne parametry pracy instalacji przekazane przez zleceniodawcę:

Parametry systemu nadawczo-odbiorczego:

Charakterystyka promieniowania		Kierunkowa					
Rzeczywisty czas pracy [h/dobę]		24					
Warunki pracy		Znamionowe					
Rodzaj wytwarzanego pola		Stacjonarne					
Lp.	Częstotliwość lub zakresy częstotliwości pracy [MHz]	Typ/producent anteny	liczba anten	Azymut [°]	kąt pochylenia [°]	Wysokość środka elektrycznego anteny [m n.p.t.]	Równoważna moc promieniowana izotropowo (EIRP) [W]
1	3600	AQQQ NSN	1	30	4-10**	49	47886
2	700/800/900/1800/2100/2600	KRE1012486/1 Ericsson	1	30	2-12**/2-12**/ 2-12**/2-10**/ 2-10**/2-10**	49	31112
3	3600	AQQQ NSN	1	180	4-10**	49	47886
4	700/800/900/1800/2100/2600	KRE1012486/1 Ericsson	1	180	2-12**/2-12**/ 2-12**/2-10**/ 2-10**/2-10**	49	31112
5	3600	AQQQ NSN	1	280	4-10**	49	47886
6	700/800/900/1800/2100/2600	KRE1012486/1 Ericsson	1	280	2-12**/2-12**/ 2-12**/2-10**/ 2-10**/2-10**	49	31112

\* wskazane wartości kąta pochylenia anten, zgodnie z informacją uzyskaną od zleceniodawcy, są wartościami stałymi

\*\* pomiary wykonano zgodnie z pkt 13., ppkt 2 załącznika do Rozporządzenia Ministra Klimatu z dnia 17 lutego 2020 r. (Dz. U. 2022, poz. 2630).

Parametry radiolinii:

Charakterystyka promieniowania		kierunkowa					
Rzeczywisty czas pracy [h/dobę]		24					
Warunki pracy		znamionowe					
Rodzaj wytwarzanego pola		stacjonarne					
Lp.	Linia radiowa			Antena			
	Typ/Producent	Częstotliwość pracy [GHz]	Równoważna moc promieniowana izotropowo (EIRP) [W]	Typ/producent	Średnica anteny [m]	Azymut [°]	Wysokość zainstalowania n.p.t. [m]
1.	RTN 380AX DC 70/80GHz 500MHz Huawei	80	2239	VHLP2-80 Andrew	0.6	346	46

### 7.4 Inne źródła pól elektromagnetycznych

Na podstawie informacji otrzymanych od użytkownika oraz obserwacji otoczenia miejsca wykonywania pomiarów stwierdzono występowanie innych źródeł pola-EM, pracujących w systemie: telefonii komórkowej (800MHz-3800MHz), które istotnie wpływają na wyniki pomiarów. Zidentyfikowano również źródła pola-EM: linii radiowych (5GHz-90GHz), które nie wpływają istotnie na wyniki pomiarów.

## 8. Opis pomiarów

### 8.1. Metoda badań

Zgodna z rozporządzeniem Ministra Klimatu z dnia 17 lutego 2020 r. w sprawie sposobów sprawdzania dotrzymania dopuszczalnych poziomów pól elektromagnetycznych w środowisku (Dz.U. 2022 poz. 2630), określona w pkt 25 ppkt 1 załącznika do niniejszego rozporządzenia.

Sprawozdanie z badań bez pisemnej zgody laboratorium nie może być powielane inaczej niż w całości.

Wynik przedstawione w niniejszym sprawozdaniu odnoszą się wyłącznie do badanego obiektu i do warunków i konfiguracji urządzeń w dniu wykonywania pomiarów.

## 8.2. Termin pomiarów i warunki środowiskowe

Podczas wykonywania pomiarów pól elektromagnetycznych nie występowały opady atmosferyczne. Wyniki pomiaru parametrów pogodowych przedstawia poniższa tabela:

Data [rrrr-mm-dd]	Godzina [hh:mm- hh:mm]	Warunki środowiskowe			
		Temperatura [°C]		Wilgotność względna [%]	
2025-10-09	11:55-13:20	Przed pomiarem	Po pomiarach	Przed pomiarem	Po pomiarach
		12.3	12.5	73.3	73.1

Przedstawione wyżej warunki środowiskowe, występujące podczas wykonywania pomiarów pól elektromagnetycznych, są zgodne ze specyfikacją techniczną użytego zestawu pomiarowego.

## 8.3. Warunki pracy urządzeń nadawczych

Podczas pomiarów w przypadku uzyskania wyniku pomiaru szerokopasmowego wykonanego zastosowaną metodą, dla zakresów częstotliwości od 10 MHz do 300 GHz, powiększonego o rozszerzoną niepewność pomiaru U dla współczynnika rozszerzenia  $k = 2$  przekraczającego 70% najniższej dopuszczalnej wartości składowej elektrycznej lub magnetycznej pola dla objętych pomiarami zakresów częstotliwości, uwzględnia się poprawki pomiarowe przekazane przez zleceniodawcę, umożliwiające uwzględnienie maksymalnych parametrów pracy instalacji zgodnie z pkt 7 załącznika do Rozporządzeniem Ministra Klimatu z dnia 17 lutego 2020 r. w sprawie sposobów sprawdzania dotrzymania dopuszczalnych poziomów pól elektromagnetycznych w środowisku (Dz. U. 2022, poz. 2630) zaznaczając, że wymagane jest wykonanie pomiaru z wykorzystaniem miernika selektywnego. W przypadku uzyskania wyniku pomiaru szerokopasmowego wykonanego zastosowaną metodą, dla zakresów częstotliwości od 10 MHz do 300 GHz, powiększonego o rozszerzoną niepewność pomiaru U dla współczynnika rozszerzenia  $k = 2$  nieprzekraczającego 70% najniższej dopuszczalnej wartości składowej elektrycznej lub magnetycznej pola dla objętych pomiarami zakresów częstotliwości, nie uwzględnia się poprawek pomiarowych.

## 8.4. Wyposażenie pomiarowe

Zestaw pomiarowy służący do pomiaru natężenia składowej elektrycznej pola elektromagnetycznego złożony z szerokopasmowego miernika i sondy pomiarowej:

Oznaczenie miernika	Producent	Model	Numer fabryczny	Oznaczenie sondy	Producent	Model	Numer fabryczny
MF-01	Narda Safety Test Solution	Miernik pól elektromagnetycznych Narda FieldMan	B-0119	SF-01	Narda Safety Test Solution	Sonda EFD-6091	A-0067

Mierniki natężenia pola elektromagnetycznego podlegają okresowemu sprawdzeniu zgodnie z procedurą wewnętrzną P-03 i PB-01. Świadczenie wzorcowania zestawu pomiarowego z dnia 6 grudnia 2023 o numerze LWIMP/W/463/23 wydane przez Politechnika Wrocławską. Data ważności świadectwa wzorcowania: 6 grudnia 2025 (zgodnie z procedurą wewnętrzną P-03).

Oznaczenie miernika	Producent	Model	Numer fabryczny	Oznaczenie sondy	Producent	Model	Numer fabryczny
MF-01	Narda Safety Test Solution	Miernik pól elektromagnetycznych Narda FieldMan	B-0119	SF-02	Narda Safety Test Solution	Sonda EFD-0691	A-0151

Mierniki natężenia pola elektromagnetycznego podlegają okresowemu sprawdzeniu zgodnie z procedurą wewnętrzną P-03 i PB-01. Świadczenie wzorcowania zestawu pomiarowego z dnia 13 września 2024 o numerze LWIMP/W/319/24 wydane przez Politechnika Wrocławską. Data ważności świadectwa wzorcowania: 13 września 2026 (zgodnie z procedurą wewnętrzną P-03).

### Termohigrometr:

Oznaczenie:	TH-07	Producent:	AZ INSTRUMENT CORP	Model:	Termohigrometr AZ8706
-------------	-------	------------	--------------------	--------	-----------------------

Data ważności świadectwa wzorcowania: 7 stycznia 2028 (zgodnie z procedurą wewnętrzną P-03).

### Dalmierz:

Oznaczenie	Producent	Typ	Numer seryjny	Nr świadectwa wzorcowania	Data świadectwa wzorcowania
D-04	Leica	Dalmierz Leica Disto X310	843810404	Z3- Z32.4180.34.2025.826.4	1 kwietnia 2025

Data ważności świadectwa wzorcowania: 1 kwietnia 2035 (zgodnie z procedurą wewnętrzną P-03).

Sprawozdanie z badań bez pisemnej zgody laboratorium nie może być powielane inaczej niż w całości.

Wynik przedstawione w niniejszym sprawozdaniu odnoszą się wyłącznie do badanego obiektu i do warunków i konfiguracji urządzeń w dniu wykonywania pomiarów.

**Odbiornik GNSS:**

Odbiornik GNSS wbudowany w miernik natężenia pola elektromagnetycznego użyty podczas pomiarów	Producent	Model
	UBlox	NEO-M8T

Odbiorniki podlegają okresowemu sprawdzeniu zgodnie z procedurą wewnętrzną P-03.

**9. Wyniki pomiarów**

**Pole elektryczne**

Nr pionu	Opis umiejscowienia pionu (punktu pomiarowego)	Wysokość pomiaru [m]	Zmierzona wartość natężenia pola elektrycznego E [V/m] <sup>1,5</sup>			Wartość natężenia pola elektrycznego powiększona o niepewność pomiaru <sup>4</sup> E [V/m]	Wskaźnikowa wartość poziomu emisji pól elektromagnetycznych WME <sup>3</sup>	Współrzędne geograficzne pionu (punktu pomiarowego) <sup>2</sup>
			Sonda SF-01	Sonda SF-02	Wartość			
1	DPP w płaszczyźnie otworu okiennego budynku na parterze przy ul. Bajkowa 107	2.0	1.2	1.2	1.2	1.6	0.06	53°43'58.1" 20°29'56.8"
2	DPP w drzwiach wejściowych budynku przy ul. Bajkowa 105	2.0	1.5	1.5	1.5	2	0.07	53°43'58.8" 20°29'57.5"
3	GKP w odległości poziomej 23m od anteny sektorowej az. 180°	0.3-2.0	<1.0*	<1.0*	<1.0*	1.3	0.05	53°43'54.8" 20°29'54.6"
4	GKP w odległości poziomej 53m od anteny sektorowej az. 180°	0.3-2.0	<1.0*	<1.0*	<1.0*	1.3	0.05	53°43'54.1" 20°29'54.6"
5	GKP w odległości poziomej 109m od anteny sektorowej az. 180°	0.3-2.0	<1.0*	<1.0*	<1.0*	1.3	0.05	53°43'52.3" 20°29'54.6"
6	GKP w odległości poziomej 112m od anteny sektorowej az. 280°	2.0	1.7	1.7	1.7	2.2	0.08	53°43'56.3" 20°29'48.5"
7	GKP w odległości poziomej 31m od anteny sektorowej az. 30°	0.3-2.0	<1.0*	<1.0*	<1.0*	1.3	0.05	53°43'56.6" 20°29'55.3"
8	GKP w odległości poziomej 51m od anteny sektorowej az. 30°	0.3-2.0	<1.0*	<1.0*	<1.0*	1.3	0.05	53°43'57.4" 20°29'56.0"
9	GKP w odległości poziomej 114m od anteny sektorowej az. 30°	2.0	1.0	1.0	1.0	1.3	0.05	53°43'59.2" 20°29'57.8"
10	PKP na az. 145° w odległości poziomej 54m od anteny sektorowej az. 180°	0.3-2.0	<1.0*	<1.0*	<1.0*	1.3	0.05	53°43'54.1" 20°29'56.4"
11	PKP na az. 160° w odległości poziomej 56m od anteny sektorowej az. 180°	0.3-2.0	<1.0*	<1.0*	<1.0*	1.3	0.05	53°43'54.1" 20°29'55.7"
12	PKP na az. 172° w odległości poziomej 58m od anteny sektorowej az. 180°	0.3-2.0	<1.0*	<1.0*	<1.0*	1.3	0.05	53°43'53.8" 20°29'55.0"
13	PKP na az. 187° w odległości poziomej 54m od anteny sektorowej az. 180°	0.3-2.0	<1.0*	<1.0*	<1.0*	1.3	0.05	53°43'54.1" 20°29'54.2"
14	PKP na az. 201° w odległości poziomej 57m od anteny sektorowej az. 180°	0.3-2.0	<1.0*	<1.0*	<1.0*	1.3	0.05	53°43'54.1" 20°29'53.5"
15	PKP na az. 215° w odległości poziomej 57m od anteny sektorowej az. 180°	2.0	1.2	1.2	1.2	1.6	0.06	53°43'54.1" 20°29'52.8"
16	PKP na az. 245° w odległości poziomej 64m od anteny sektorowej az. 280°	2.0	1.1	1.1	1.1	1.4	0.05	53°43'54.8" 20°29'51.4"
17	PKP na az. 261° w odległości poziomej 112m od anteny sektorowej az. 280°	2.0	2.0	2.0	2.0	2.6	0.09	53°43'55.2" 20°29'48.5"
18	PKP na az. 273° w odległości poziomej 110m od anteny sektorowej az. 280°	2.0	1.9	1.9	1.9	2.5	0.09	53°43'55.9" 20°29'48.5"
19	PKP na az. 287° w odległości poziomej 117m od anteny sektorowej az. 280°	2.0	1.7	1.7	1.7	2.2	0.08	53°43'57.0" 20°29'48.5"
20	PKP na az. 301° w odległości poziomej 110m od anteny sektorowej az. 280°	2.0	1.8	1.8	1.8	2.4	0.08	53°43'57.7" 20°29'49.2"
21	PKP na az. 315° w odległości poziomej 82m od anteny sektorowej az. 280°	2.0	1.7	1.7	1.7	2.2	0.08	53°43'57.7" 20°29'51.4"

Sprawozdanie z badań bez pisemnej zgody laboratorium nie może być powielane inaczej niż w całości.

Wynik przedstawione w niniejszym sprawozdaniu odnoszą się wyłącznie do badanego obiektu i do warunków i konfiguracji urządzeń w dniu wykonywania pomiarów.

22	GKP w odległości poziomej 65m od anteny radioliniowej az. 346°	2.0	1.5	1.5	1.5	2	0.07	53°43'57.7" 20°29'53.9"
23	PKP na az. 355° w odległości poziomej 77m od anteny sektorowej az. 30°	0.3-2.0	<1.0*	<1.0*	<1.0*	1.3	0.05	53°43'58.1" 20°29'54.2"
24	PKP na az. 9° w odległości poziomej 63m od anteny sektorowej az. 30°	2.0	1.2	1.2	1.2	1.6	0.06	53°43'57.7" 20°29'55.0"
25	PKP na az. 23° w odległości poziomej 81m od anteny sektorowej az. 30°	2.0	1.4	1.4	1.4	1.8	0.07	53°43'58.1" 20°29'56.4"
26	PKP na az. 37° w odległości poziomej 63m od anteny sektorowej az. 30°	2.0	1.3	1.3	1.3	1.7	0.06	53°43'57.4" 20°29'56.8"
27	PKP na az. 50° w odległości poziomej 55m od anteny sektorowej az. 30°	0.3-2.0	<1.0*	<1.0*	<1.0*	1.3	0.05	53°43'57.0" 20°29'56.8"
28	PKP na az. 65° w odległości poziomej 53m od anteny sektorowej az. 30°	2.0	1.1	1.1	1.1	1.4	0.05	53°43'56.6" 20°29'57.1"
-	GKP w odległości poziomej 292m od anteny sektorowej az. 30°	0.3-2.0	<1.0*	<1.0*	<1.0*	1.3	0.05	53°44'3.8" 20°30'2.5"
-	GKP w odległości poziomej 293m od anteny sektorowej az. 180°	0.3-2.0	<1.0*	<1.0*	<1.0*	1.3	0.05	53°43'46.2" 20°29'54.6"
-	GKP w odległości poziomej 288m od anteny sektorowej az. 280°	2.0	<b>2.3</b>	<b>2.3</b>	<b>2.3</b>	3	0.11	53°43'57.4" 20°29'38.8"

Pole magnetyczne (wyznaczone na podstawie pomiaru wartości natężenia pola elektrycznego)

Nr pionu	Opis umiejscowienia pionu (punktu) pomiarowego	Wysokość pomiaru [m]	Wartość natężenia pola magnetycznego H [A/m] <sup>1</sup>			Wartość natężenia pola magnetycznego powiększona o niepewność pomiaru <sup>4</sup> H [A/m]	Wskaźnikowa wartość poziomu emisji pól elektromagnetycznych WM <sub>H</sub> <sup>3</sup>	Współrzędne geograficzne pionu (punktu) pomiarowego <sup>2</sup>
			Sonda SF-01	Sonda SF-02	Wartość			
1	DPP w płaszczyźnie otworu okiennego budynku na parterze przy ul. Bajkowa 107	2.0	0.003	0.003	0.003	0.004	0.06	53°43'58.1" 20°29'56.8"
2	DPP w drzwiach wejściowych budynku przy ul. Bajkowa 105	2.0	0.004	0.004	0.004	0.005	0.07	53°43'58.8" 20°29'57.5"
3	GKP w odległości poziomej 23m od anteny sektorowej az. 180°	0.3-2.0	<0.003*	<0.003*	<0.003*	0.003	0.05	53°43'54.8" 20°29'54.6"
4	GKP w odległości poziomej 53m od anteny sektorowej az. 180°	0.3-2.0	<0.003*	<0.003*	<0.003*	0.003	0.05	53°43'54.1" 20°29'54.6"
5	GKP w odległości poziomej 109m od anteny sektorowej az. 180°	0.3-2.0	<0.003*	<0.003*	<0.003*	0.003	0.05	53°43'52.3" 20°29'54.6"
6	GKP w odległości poziomej 112m od anteny sektorowej az. 280°	2.0	0.005	0.005	0.005	0.006	0.08	53°43'56.3" 20°29'48.5"
7	GKP w odległości poziomej 31m od anteny sektorowej az. 30°	0.3-2.0	<0.003*	<0.003*	<0.003*	0.003	0.05	53°43'56.6" 20°29'55.3"
8	GKP w odległości poziomej 51m od anteny sektorowej az. 30°	0.3-2.0	<0.003*	<0.003*	<0.003*	0.003	0.05	53°43'57.4" 20°29'56.0"
9	GKP w odległości poziomej 114m od anteny sektorowej az. 30°	2.0	0.003	0.003	0.003	0.003	0.05	53°43'59.2" 20°29'57.8"
10	PKP na az. 145° w odległości poziomej 54m od anteny sektorowej az. 180°	0.3-2.0	<0.003*	<0.003*	<0.003*	0.003	0.05	53°43'54.1" 20°29'56.4"
11	PKP na az. 160° w odległości poziomej 56m od anteny sektorowej az. 180°	0.3-2.0	<0.003*	<0.003*	<0.003*	0.003	0.05	53°43'54.1" 20°29'55.7"
12	PKP na az. 172° w odległości poziomej 58m od anteny sektorowej az. 180°	0.3-2.0	<0.003*	<0.003*	<0.003*	0.003	0.05	53°43'53.8" 20°29'55.0"
13	PKP na az. 187° w odległości poziomej 54m od anteny sektorowej az. 180°	0.3-2.0	<0.003*	<0.003*	<0.003*	0.003	0.05	53°43'54.1" 20°29'54.2"
14	PKP na az. 201° w odległości poziomej 57m od anteny sektorowej az. 180°	0.3-2.0	<0.003*	<0.003*	<0.003*	0.003	0.05	53°43'54.1" 20°29'53.5"
15	PKP na az. 215° w odległości poziomej 57m od anteny sektorowej az. 180°	2.0	0.003	0.003	0.003	0.004	0.06	53°43'54.1" 20°29'52.8"

Sprawozdanie z badań bez pisemnej zgody laboratorium nie może być powielane inaczej niż w całości.  
 Wynik przedstawione w niniejszym sprawozdaniu odnoszą się wyłącznie do badanego obiektu i do warunków i konfiguracji urządzeń w dniu wykonywania pomiarów.

16	PKP na az. 245° w odległości poziomej 64m od anteny sektorowej az. 280°	2.0	0.003	0.003	0.003	0.004	0.05	53°43'54.8" 20°29'51.4"
17	PKP na az. 261° w odległości poziomej 112m od anteny sektorowej az. 280°	2.0	0.005	0.005	0.005	0.007	0.1	53°43'55.2" 20°29'48.5"
18	PKP na az. 273° w odległości poziomej 110m od anteny sektorowej az. 280°	2.0	0.005	0.005	0.005	0.007	0.09	53°43'55.9" 20°29'48.5"
19	PKP na az. 287° w odległości poziomej 117m od anteny sektorowej az. 280°	2.0	0.005	0.005	0.005	0.006	0.08	53°43'57.0" 20°29'48.5"
20	PKP na az. 301° w odległości poziomej 110m od anteny sektorowej az. 280°	2.0	0.005	0.005	0.005	0.006	0.09	53°43'57.7" 20°29'49.2"
21	PKP na az. 315° w odległości poziomej 82m od anteny sektorowej az. 280°	2.0	0.005	0.005	0.005	0.006	0.08	53°43'57.7" 20°29'51.4"
22	GKP w odległości poziomej 65m od anteny radioliniowej az. 346°	2.0	0.004	0.004	0.004	0.005	0.07	53°43'57.7" 20°29'53.9"
23	PKP na az. 355° w odległości poziomej 77m od anteny sektorowej az. 30°	0.3-2.0	<0.003*	<0.003*	<0.003*	0.003	0.05	53°43'58.1" 20°29'54.2"
24	PKP na az. 9° w odległości poziomej 63m od anteny sektorowej az. 30°	2.0	0.003	0.003	0.003	0.004	0.06	53°43'57.7" 20°29'55.0"
25	PKP na az. 23° w odległości poziomej 81m od anteny sektorowej az. 30°	2.0	0.004	0.004	0.004	0.005	0.07	53°43'58.1" 20°29'56.4"
26	PKP na az. 37° w odległości poziomej 63m od anteny sektorowej az. 30°	2.0	0.003	0.003	0.003	0.005	0.06	53°43'57.4" 20°29'56.8"
27	PKP na az. 50° w odległości poziomej 55m od anteny sektorowej az. 30°	0.3-2.0	<0.003*	<0.003*	<0.003*	0.003	0.05	53°43'57.0" 20°29'56.8"
28	PKP na az. 65° w odległości poziomej 53m od anteny sektorowej az. 30°	2.0	0.003	0.003	0.003	0.004	0.05	53°43'56.6" 20°29'57.1"
-	GKP w odległości poziomej 292m od anteny sektorowej az. 30°	0.3-2.0	<0.003*	<0.003*	<0.003*	0.003	0.05	53°44'3.8" 20°30'2.5"
-	GKP w odległości poziomej 293m od anteny sektorowej az. 180°	0.3-2.0	<0.003*	<0.003*	<0.003*	0.003	0.05	53°43'46.2" 20°29'54.6"
-	GKP w odległości poziomej 288m od anteny sektorowej az. 280°	2.0	<b>0.006</b>	<b>0.006</b>	0.006	0.008	0.11	53°43'57.4" 20°29'38.8"

**Pomiarów nie wykonano:**

Oznaczenie braku dostępu	Opis umiejscowienia
A	W budynku mieszkalnym pod adresem Bajkowa 105, z powodu braku mieszkańców

W miejscach, w których nie udało się przeprowadzić pomiarów z powodu nieobecności mieszkańców, Laboratorium Badań Środowiskowych NetWorks podejmie próbę ich wykonania podczas kolejnych badań poziomu pól elektromagnetycznych prowadzonych na potrzeby ochrony środowiska.

GKP – Główny Kierunek Pomiarowy

DPP – Dodatkowy Pion Pomiarowy

PKP – Pomocniczy Kierunek Pomiarowy

<sup>1</sup> wyniki oznaczone \* są wynikami poniżej czułości zestawu pomiarowego i są wynikami spoza zakresu akredytacji. Do obliczenia wyniku skorygowanego przyjęto wartość skorelowaną z rzeczywistym wynikiem pomiaru - dolną granicę akredytowanego zakresu pomiarowego metody

<sup>2</sup> współrzędne geograficzne pozyskane metodą pomiaru bezpośredniego

<sup>3</sup> do wyznaczenia wartości wskaźnikowej  $W_{ME}$  i  $W_{MH}$  przyjęto na podstawie uzgodnień z klientem oraz rozpoznania źródeł, jako wartości dopuszczalne pola elektrycznego i magnetycznego odpowiednio 28 V/m i 0,073 A/m.

<sup>4</sup> do wyznaczenia niepewności dla wyników poniżej czułości zestawu pomiarowego, przyjęto niepewność dla minimalnej wartości z zakresu pomiarowego.

<sup>5</sup> maksymalna wartość chwilowa

Niepewność oszacowano zgodnie z dokumentem P-03 „Procedura nadzoru nad wyposażeniem” w postaci niepewności rozszerzonej wynikającej z niepewności standardowej pomnożonej przez współczynnik rozszerzenia  $k=2$ .

Całkowita szacowana niepewność rozszerzona składowej E wynosi odpowiednio:

sonda SF-01: 31.8% dla częstotliwości do 4 GHz, sonda SF-02: 27.4% dla częstotliwości do 4 GHz

Pomiar wykonany metodą 2 sond, opisaną w artykule Medycyna Pracy 2015;66(5):701–712 „Optymalizacja metodyki pomiaru wieloczęstotliwościowego pola elektromagnetycznego stacji bazowych telefonii komórkowej”.

Sprawozdanie z badań bez pisemnej zgody laboratorium nie może być powielane inaczej niż w całości.

Wynik przedstawione w niniejszym sprawozdaniu odnoszą się wyłącznie do badanego obiektu i do warunków i konfiguracji urządzeń w dniu wykonywania pomiarów.

Umieszczenie pionów (punktów) pomiarowych przedstawiono w załączniku nr 2 do niniejszego sprawozdania.

Pomiary wykonano na terenach przeznaczonych pod zabudowę mieszkaniową w obszarze pomiarowym, w którym na podstawie uprzednio przeprowadzonych obliczeń, stwierdzono występowanie w danych zakresach częstotliwości pól elektromagnetycznych o poziomach zbliżonych do poziomów dopuszczalnych, określonych w przepisach wydanych na podstawie art. 122 ust. 1 ustawy z dnia 27 kwietnia 2001 r. – Prawo ochrony środowiska.

#### 10. Omówienie wyników pomiarów

W związku z tym, że żadna z wartości zmierzonych, udokumentowanych w tabelach w pkt. 9, uzyskanych w skutek zastosowania pomiaru szerokopasmowego, powiększonego o rozszerzoną niepewność pomiaru  $U$  dla współczynnika rozszerzenia  $k = 2$  nie przekroczyła 70% najniższej dopuszczalnej wartości składowej elektrycznej lub magnetycznej pola dla objętych pomiarami zakresów częstotliwości, nie uwzględnia się poprawek pomiarowych.

W wyniku zastosowania sposobu sprawdzenia dotrzymania dopuszczalnych poziomów pól elektromagnetycznych w środowisku, zgodnie pkt 25 ppkt 1 Rozporządzenia Ministra Klimatu z dnia 17 lutego 2020 r. (Dz. U. 2022, poz. 2630), w związku z tym, że żadna z wartości wskaźnikowych, udokumentowanych w tabelach w pkt. 9 nie przekracza wartości 1, stwierdza się, że w miejscach, w których wykonano pomiary w otoczeniu instalacji radiokomunikacyjnej 4528 (44031N!) JAROCKA (GOL\_OLSZTYN\_JAROCKA), dopuszczalne poziomy pól elektromagnetycznych w środowisku należy uznać za dotrzymane.

Miejsca niedostępne podczas wykonywania pomiarów wskazane zostały w pkt. 9 (Wyniki pomiarów) lub na załączniku przedstawiającym usytuowanie pionów pomiarowych

#### 11. Podstawa prawna

- 1) Ustawa z dnia 27 kwietnia 2001 r. Prawo ochrony środowiska (T. j. Dz. U. z 2025 r., poz. 647 z późn. zm.)
- 2) Rozporządzenie Ministra Zdrowia z dnia 17 grudnia 2019 r. w sprawie dopuszczalnych poziomów pól elektromagnetycznych w środowisku (Dz. U. 2019, poz. 2448)
- 3) Rozporządzenie Ministra Klimatu z dnia 17 lutego 2020 r. w sprawie sposobów sprawdzania dotrzymania dopuszczalnych poziomów pól elektromagnetycznych w środowisku (Dz. U. 2022, poz. 2630),
- 4) Akredytacja nr AB 419 wydana przez Polskie Centrum Akredytacji (wydanie 23, z dnia 5 marca 2024 r.)

#### 12. Spis załączników

- Załącznik 1. Lokalizacja obiektu badań
- Załącznik 2. Usytuowanie pionów (punktów) pomiarowych
- Załącznik 3. Dokumentacja fotograficzna obiektu badań

#### 13. Data wydania i autoryzowania sprawozdania

Obliczenia i sprawozdanie wykonał :

Sprawozdanie autoryzował:



Signed by /  
Podpisano przez:

Angelika  
Okoniewska

Date / Data: 2025-  
10-15 12:24

**Koniec sprawozdania**

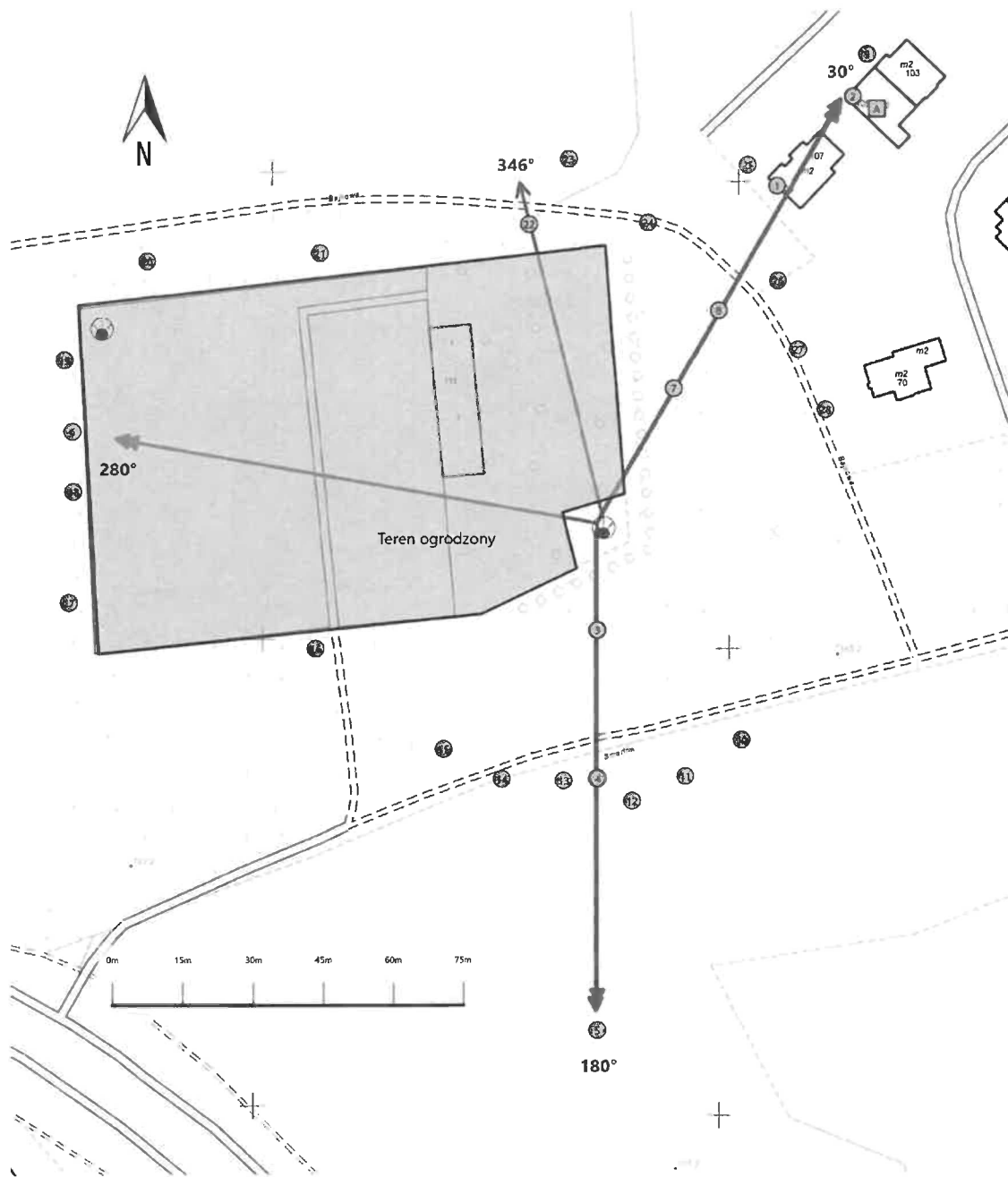
Barbara  
Stelmaszyk
















Elektronicznie podpisany  
przez Barbara Stelmaszyk  
Data: 2025.10.15  
12:52:40 +02'00'



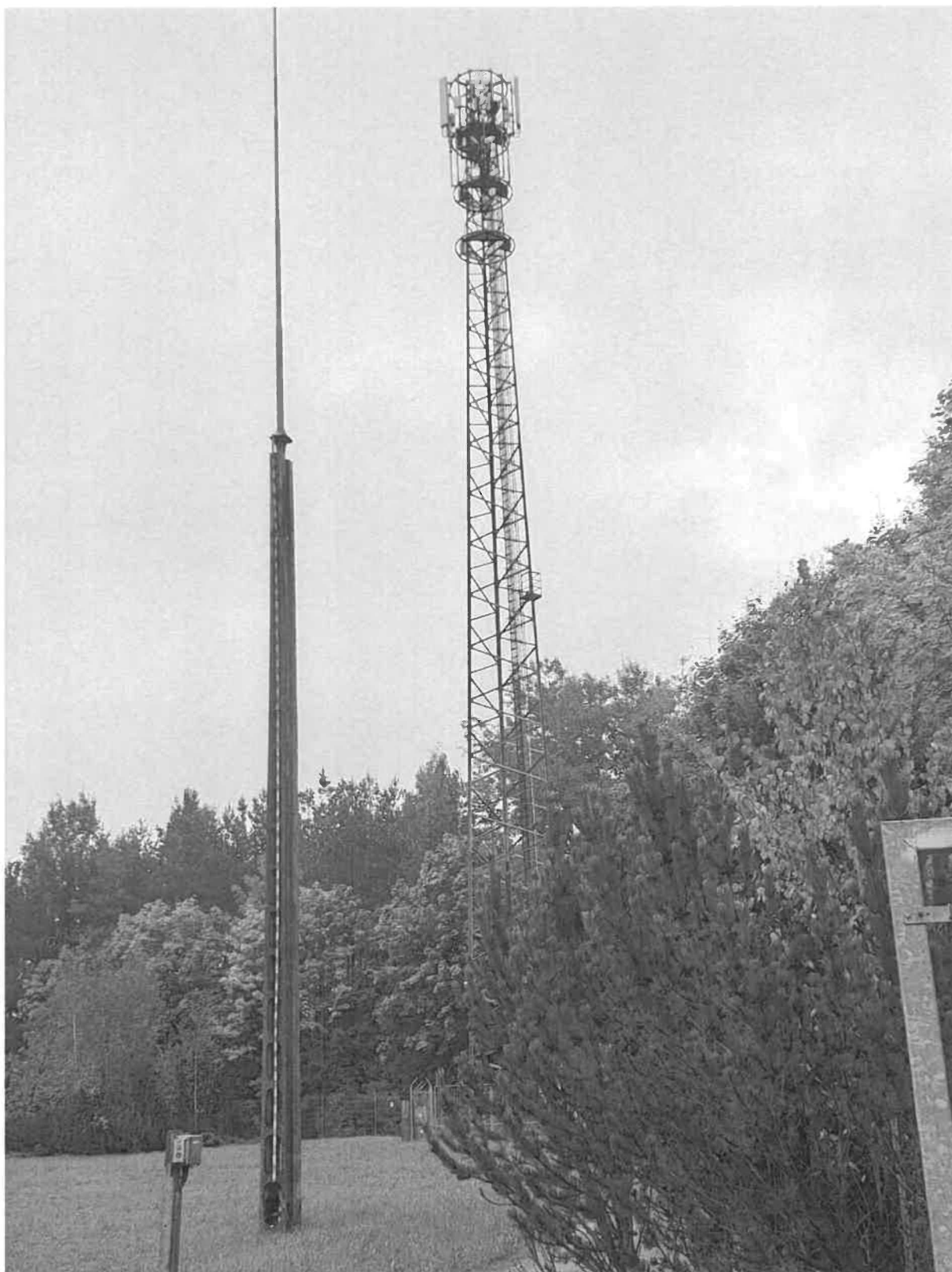
Załącznik nr 1	Instalacja radiokomunikacyjna Orange Polska S.A. 4528 (44031N) JAROCKA (GOL_OLSZTYN_JAROCKA)  Lokalizacja instalacji radiokomunikacyjnej
----------------	---

Sprawozdanie z badań bez pisemnej zgody laboratorium nie może być powielane inaczej niż w całości.  
Wynik przedstawione w niniejszym sprawozdaniu odnoszą się wyłącznie do badanego obiektu i do warunków i konfiguracji urządzeń w dniu wykonywania pomiarów.



<p><b>Załącznik nr 2</b></p>	<p>Instalacja radiokomunikacyjna Orange Polska S.A.                  GOL_OLSZTYN_JAROCKA (44031N!)                  Usytuowanie pionów pomiarowych w otoczeniu instalacji radiokomunikacyjnej</p>					
	<p>Legenda:</p> <table border="0" style="width: 100%;"> <tr> <td style="text-align: center;">                   Źródło pola                  elektromagnetycznego             </td> <td style="text-align: center;">                   Brak dostępu             </td> <td style="text-align: center;">                   Pion pomiarowy             </td> <td style="text-align: center;">                   Kierunek oddziaływania                  anten sektorowych             </td> <td style="text-align: center;">                   Kierunek oddziaływania                  anten radioliniowych             </td> </tr> </table>	 Źródło pola elektromagnetycznego	 Brak dostępu	 Pion pomiarowy	 Kierunek oddziaływania anten sektorowych	 Kierunek oddziaływania anten radioliniowych
 Źródło pola elektromagnetycznego	 Brak dostępu	 Pion pomiarowy	 Kierunek oddziaływania anten sektorowych	 Kierunek oddziaływania anten radioliniowych		

Sprawozdanie z badań bez pisemnej zgody laboratorium nie może być powielane inaczej niż w całości.  
 Wynik przedstawione w niniejszym sprawozdaniu odnoszą się wyłącznie do badanego obiektu i do warunków i konfiguracji urządzeń w dniu wykonywania pomiarów.



Załącznik nr 3

Instalacja radiokomunikacyjna Orange Polska S.A.  
4528 (44031N!) JAROCKA (GOL\_OLSZTYN\_JAROCKA)

Dokumentacja fotograficzna

Sprawozdanie z badań bez pisemnej zgody laboratorium nie może być powielane inaczej niż w całości.  
Wynik przedstawione w niniejszym sprawozdaniu odnoszą się wyłącznie do badanego obiektu i do warunków i konfiguracji urządzeń w dniu wykonywania pomiarów.